

ПРАВЫЕ ТОКИ И СЛАБЫЕ ДВУХФОТОННЫЕ
РАСПАДЫ СТРАННЫХ ЧАСТИЦ

Ю. П. МАЛАКЯН

В модели слабых взаимодействий, содержащей правые токи, получен эффективный гамильтониан слабых двухфотонных распадов. Исследован, в частности, его вклад в распад $K_L \rightarrow 2\gamma$. Вычисления проводились с учетом эффектов сильных взаимодействий.

1. Известно, что модель Вайнберга-Салама [1] для слабых взаимодействий адронов, содержащая только левые токи четырех кварков (u, d, s, c), оказалась не в состоянии объяснить многие особенности нелептонных амплитуд. С целью разрешения этих трудностей недавно в литературе интенсивно обсуждались модели слабых взаимодействий с новыми правыми токами во взаимодействии тяжелого c -кварка с легкими кварками [2]. С другой стороны, обычная теория хорошо описывала наблюдаемые радиационные распады K -мезонов [3, 4]. Поэтому возник вопрос о величине вклада правых токов в эти распады. В настоящей работе исследован вклад правых токов в слабые двухфотонные распады странных частиц, в частности, в распад $K_L \rightarrow 2\gamma$. Случай слабых однофотонных распадов был рассмотрен в работе [5].

2. Мы рассмотрим модель со слабым током

$$J_\mu = -J_{\mu L} \sin \vartheta + J_{\mu R} \sin \varphi, \quad (1)$$

где

$$J_{\mu L} = \bar{c} \gamma_\mu (1 + \gamma_5) n,$$

$J_{\mu R}$ — новый $V + A$ -ток:

$$J_{\mu R} = \bar{c} \gamma_\mu (1 - \gamma_5) \lambda,$$

ϑ — угол Кабиббо, а $\sin \varphi$ — параметр, определяющий форму правых токов. В работе [6] из наблюдаемого значения $K_L - K_S$ -разности масс была найдена верхняя граница для этого параметра, которая зависит от масс легких кварков:

$$\sin \varphi \leq \frac{1}{3,5} \frac{m_\lambda + m_\rho}{m_K}. \quad (2)$$

Эффективный гамильтониан слабых двухфотонных процессов, соответствующий вкладу правых токов, имеет вид

$$H_{\text{эфф.}} = f^2 \epsilon_{1\mu} \epsilon_{2\nu} \int dx dy dz T (J_{\rho L}^+(0) J_{\rho R}(x) j_\mu(y) j_\nu(z)) \times \\ \times e^{ik_1 y} e^{ik_2 z} D_W(x^2) + \text{с. с.}, \quad (3)$$

$$f^2/m_W = G_F/\sqrt{2},$$

где $D_W(x^2)$ — пропагатор W -бозона, j_μ — электромагнитный ток,

$$j_\mu = eQ(\bar{c}\gamma_\mu c), \quad Q = 2/3.$$

Выражение (3) возникает только за счет диаграммы рис. 1а (индексы R и L относятся соответственно к правому и левому токам). Имеются, конечно, и другие диаграммы, когда фотоны излучаются W -бозо-

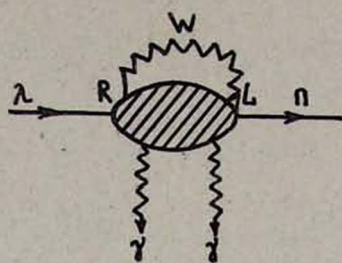


Рис. 1а.

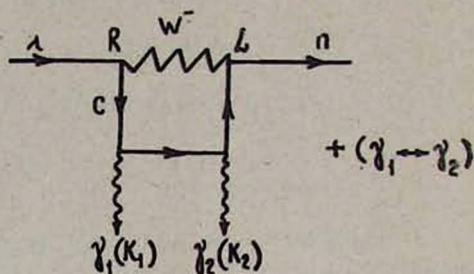


Рис. 1б.

ном. Однако в модели свободных кварков легко показать, что вклады всех этих диаграмм подавлены факторами $\frac{m_c^2}{m_W^2} \ln \frac{m_c}{m_W} \ll 1$ или $\frac{m_c^2}{m_W^2} \ll 1$, где m_c — масса c -кварка ($m_c \sim 2$ Гэв, а m_W — порядка $70 + 100$ Гэв). В этой модели диаграмма рис. 1а переходит в диаграмму рис. 1б, а $H_{эфф.}$ принимает вид

$$H_{эфф.}^{(0)} = -i \frac{G_F}{\sqrt{2}} \frac{\alpha Q^2}{4\pi m_c} \sin \theta \sin \varphi \varepsilon_{\mu\nu\rho\sigma} F_{\mu\nu} F_{\rho\sigma} (\bar{n} \gamma_5 \lambda + \bar{l} \gamma_5 n), \quad (4)$$

где $F_{\mu\nu}$ — тензор электромагнитного поля.

Учтем теперь эффекты сильных взаимодействий (СВ) в предположении, что они осуществляются посредством обмена октетом безмассовых глюонов, реализующих цветовую симметрию СВ. При этом каждый кварк выступает как триплет в цветовой $SU(3)$ -группе. В такой асимптотически-свободной градиентной теории начиная с некоторого значения виртуальных импульсов кварков для СВ имеет место теория возмущений. Обычно предполагается, что эта область начинается с $\mu \approx 1$ Гэв. Легко показать, что в интеграл по петле в диаграмме рис. 1б основной вклад вносит область виртуальных импульсов $p^2 \sim m_c^2$, т. е. в (3) $|y, z| \sim m_c^{-1} \gg |x|$, где x всегда порядка m_W^{-1} из-за $D_W(x^2)$. Поэтому эффекты виртуальных глюонов можно последовательно учесть для разных областей импульсов: $p^2 \sim m_W^2$ и $p^2 \sim m_c^2$. Поскольку виртуальные импульсы большие, то в обеих областях можно использовать разложение Вильсона для операторного произведения. Сначала разложим по Вильсону произведение $J_{LR}^+(0) J_{LR}(x)$:

$$J_{LR}^+(0) J_{LR}(x) = G_1(x^2, g, \mu) O_{LR}^{(1)}(0) + G_2(x^2, g, \mu) O_{LR}^{(2)}(0) + \dots, \quad (5)$$

где g — константа связи СВ, а операторы $O_{LR}^{(i)}$ имеют вид

$$O_{LR}^{(1)} = -3 [\bar{n} \gamma_\rho (1 - \gamma_5) c] [c \gamma_\rho (1 + \gamma_5) \lambda] - 2 [\bar{n} (1 + \gamma_5) \lambda] [c \bar{c} (1 - \gamma_5) c],$$

$$O_{LR}^{(2)} = -2 [\bar{n} (1 + \gamma_5) \lambda] [c \bar{c} (1 - \gamma_5) c],$$

причем в правой части (5) мы сразу выписываем операторы $O_{LR}^{(i)}$ с определенными аномальными размерностями $\gamma_i = \frac{g^2}{8\pi^2} d_i$, где числа d_i были вычислены в работе [7]: $d_1 = -1$, $d_2 = 8$.

Операторы $O_{LR}^{(i)}$ являются линейными комбинациями операторов

$$[\bar{n} \gamma_\mu (1 + \gamma_5) c] [\bar{c} \gamma_\mu (1 - \gamma_5) \lambda]$$

и

$$[\bar{n} \gamma_\mu (1 + \gamma_5) \tau^a c] [\bar{c} \gamma_\mu (1 - \gamma_5) \tau^a \lambda],$$

где τ^a — генераторы цветовой $SU(3)$ -группы ($\text{Sp } \tau^a \tau^b = 2\delta^{ab}$) и получаются диагонализацией матрицы констант перенормировки. Последние вычисляются стандартным образом с помощью однопетлевых диаграмм рис. 2. Функции $G_i(x^2, g, \mu)$ легко находятся методом ренормгруппового анализа [8] и при $|x^2| \sim m_W^{-2}$ имеют вид

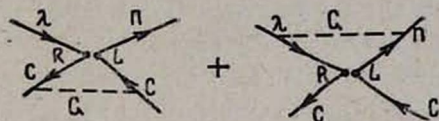


Рис. 2.

$$G_i(x^2, g, \mu)_{x^2 \sim m_W^{-2}} = \left[\chi \left(\frac{\mu}{m_c} \right) \right]^{d_i/b} \left[\chi_c \left(\frac{m_c}{m_W} \right) \right]^{d_i/b_c},$$

$$\chi = \chi \left(\frac{\mu}{m_c} \right) = 1 + \frac{g^2(\mu^2)}{8\pi^2} b \ln \frac{m_c}{\mu}, \quad b = 9, \quad (6)$$

$$\chi_c = \chi_c \left(\frac{m_c}{m_W} \right) = 1 + \frac{g^2(m_c^2)}{8\pi^2} b_c \ln \frac{m_W}{m_c}, \quad b_c = \frac{25}{3}, \quad \frac{g^2(\mu^2)}{g^2(m_c^2)} = \chi.$$

Если принять

$$\mu \simeq 1 \text{ ГэВ}, \quad m_W \simeq 100 \text{ ГэВ}, \quad m_c \simeq 2 \text{ ГэВ}, \quad \frac{g^2(\mu^2)}{4\pi} \sim 1, \quad (7)$$

то $G_1 \sim \frac{1}{8} G_2$, и поэтому вклад оператора $O_{LR}^{(1)}$ в дальнейшем можно не учитывать.

Подставим (5) в (3) и воспользуемся разложением Вильсона уже для произведения $O_{LR}^{(2)}(0) j_\mu(y) j_\nu(z)$, где $(y, z) \sim m_c^{-1}$:

$$T(O_{LR}^{(2)}(0) j_\mu(y) j_\nu(z)) = m_c \varepsilon_{\mu\nu\rho\sigma} y_\rho z_\sigma G(y^2, z^2, g, \mu) (\bar{n} \gamma_5 \lambda) + \dots \quad (8)$$

Отметим, что в правых частях формул (5) и (8) выписаны только наиболее сингулярные члены. Остальные члены имеют более высокую размерность и подавлены соответственно факторами μ^2/m_W^2 и μ^2/m_c^2 .

Функция $G(y^2, z^2, g, \mu)$ в формуле (8) находится решением уравнения ренормгруппы с аномальной размерностью $\gamma_G = \frac{g^2}{8\pi^2} (-d_2 + d)$,

где число d связано с аномальной размерностью оператора $(\bar{n}\gamma_5\lambda)$ и равно $d=4$. Это решение имеет вид

$$G(y^2, z^2, g, \mu) = G^{(0)}(y^2, z^2) \chi^{\frac{-d_g+d}{b}}, \quad (9)$$

где $G^{(0)}(y^2, z^2)$ вычисляется в модели свободных кварков. Подчеркнем, что логарифмические поправки к массе m_c при $p^2 \sim m_c^2$ отсутствуют.

В результате после подстановки (5)–(9) в (3) получаем окончательное выражение для эффективного гамильтониана слабых двухфотонных процессов в модели с правыми токами:

$$H_{\text{эфф.}} = \eta H_{\text{эфф.}}^{(0)}, \quad (10)$$

где

$$\eta = \chi^{d/b} \chi_c^{d_2/b_2}.$$

При принятых значениях параметров (7) $\eta = 4,6$, т. е. в этом случае эффекты СВ существенны.

3. В работе [4] было получено соотношение, связывающее амплитуды распадов $K_L \rightarrow 2\gamma$ и $K_L \rightarrow \pi^+\pi^-\gamma$. Оно в настоящее время хорошо выполняется экспериментально. Однако при выводе этого соотношения предполагалось, что вкладами правых токов в $K_L \rightarrow 2\gamma$ можно пренебречь. Покажем, что это действительно так.

Амплитуду $K_L \rightarrow 2\gamma$ представим в виде

$$M(K_L \rightarrow 2\gamma) = g_L \varepsilon_{\mu\nu\rho\sigma} \epsilon_{1\mu} \epsilon_{2\nu} k_{1\rho} k_{2\sigma}.$$

Экспериментальное значение g_L есть [9]

$$|g_L| \sim (1,6 \pm 0,07) \cdot 10^{-9} m_K^{-1}. \quad (11)$$

Воспользовавшись соотношением, которое справедливо и для взаимодействующих кварков,

$$\langle 0 | \bar{n}\gamma_5\lambda + \bar{\lambda}\gamma_5 n | K_L \rangle = -f_K \frac{\sqrt{2} m_K^2}{m_\lambda + m_p},$$

где f_K — константа распада K^+ -мезона, и учитывая (2), легко находим верхнюю границу вклада $H_{\text{эфф.}}$ в g_L :

$$|g_L^R| \leq \frac{2 G_F}{m_c} \frac{\alpha Q^2}{3,5 \pi} \sin \theta f_K m_K \eta \approx 0,1 \cdot 10^{-9} m_K^{-1},$$

что составляет всего несколько процентов от экспериментального значения (11).

Институт физических исследований
АН АрмССР

Поступила 27.X.1976

Л И Т Е Р А Т У Р А

1. S. Weinberg. Phys. Rev. Lett., 19, 1264 (1967); 27, 1688 (1971).
- A. Salam. Proc. of the 8th Nobel Symposium, Stockholm, 1968, p. 367.

2. *A. De Rujula, H. Georgi, S. L. Glashow*. Phys. Rev. Lett., 35, 69 (1975).
F. Wilczek et al. Phys. Lett., 61B, 259 (1976); Phys. Rev., D12, 2768 (1975).
M. Gell-Mann, H. Fritzsch, P. Minkowsky. Phys. Lett., 59B, 255 (1975).
3. *L. B. Okun et al.* Preprint ITEP-98, 1975.
4. *Yu. P. Malakian*. Preprint IPR-42, 1976.
5. *M. A. Shifman, A. I. Vainshtein, V. I. Zakharov*. Preprint ITEP-113, 1976.
6. *M. A. Shifman, A. I. Vainshtein, V. I. Zakharov*. Preprint ITEP-63, 1976.
7. *G. Altarelli, L. Maiani*. Phys. Lett., 52B, 351 (1974).
8. *S. Weinberg*. Phys. Rev., D8, 3497 (1973).
9. Review of Particle Properties. Rev. Mod. Phys., 48, № 2, part II (1976).

ԱՋ ՀՈՍԱՆՔՆԵՐԸ ԵՎ ԹՈՒՅԼ ԵՐԿՖՈՏՈՆԱՅԻՆ ՏՐՈՂՈՒՄՆԵՐԸ

Յու. Պ. ՄԱԼԱՔՅԱՆ

Թույլ փոխազդեցությունների մոդելում, որը պարունակում է աջ հոսանքներ, ստացված է թույլ երկֆոտոնային արոհումների էֆեկտիվ համիլտոնիանը: Հետազոտված է մասնավորապես նրա ներդրումը $K_L \rightarrow 2\gamma$ արոհման մեջ: Հաշվումները կատարված են ուժեղ փոխազդեցությունների էֆեկտների հաշվառմամբ:

RIGHT-HANDED CURRENTS AND WEAK
TWO-PHOTONIC DECAYS

Yu. P. MALAKYAN

The effective Hamiltonian of weak two-photonic decays is derived in a model with right-handed currents taking into account strong interaction effects. The contribution of this Hamiltonian to the decay $K_L \rightarrow 2\gamma$ is considered in detail.